

РАДІОТЕХНІЧНІ КОЛА ТА СИГНАЛИ

УДК 621.372.061

АНАЛІЗ ЛІНІЙНИХ СИСТЕМ В ОБЛАСТІ ТРАНСФОРМАНТ ПЕРЕТВОРЕННЯ УОЛША-АДАМАРА

Рибін О.І., Ткачук А.П.

Запропоновано алгоритм розв'язання диференційних рівнянь рівноваги лінійних систем в базисі спектрів перетворення Уолша-Адамара. Означена область ефективного використання запропонованого методу, у порівнянні з іншими, які стали традиційними.

Вступ. Постановка задачі

Останнім часом при розв'язанні задач оброблення, архівації, передачі інформації, розпізнавання (класифікації) образів все більш широке застосування одержують нетрадиційні (відмінні від перетворення Фур'є та споріднених з ним) ортогональні перетворення, зокрема дискретні перетворення Уолша, косинусноїдальне, похиле, REX і т. ін. [1–5]. Так, при аналізі ступеня відхилень досліджуваного сигналу-реакції системи від тестового (який відповідає нормі) часто більш, у порівнянні до Фур'є перетворення, виразні відмінності можна спостерігати (наприклад при аналізі пульсограм) на спектрі трансформант таких перетворень, як перетворення Уолша, REX, CoREX [6].

Водночас усі логічні висновки про досліджувані сигнали та системи базуються на “фізичних” представленнях, основаних на поняттях і термінології перетворення Фур'є. Це зумовлено тим, що перетворення Фур'є базується на функціях, “натуральних” для навколишнього світу (реакція лінійної системи на гармонічну дію – це гармонічна функція тієї самої частоти, але іншої амплітуди та початкової фази).

Метою даної роботи є розроблення алгоритмів розв'язання диференційних рівнянь в базисі функцій Уолша-Адамара в області трансформант, що забезпечує єдність математичного апарату оброблення сигналів, діагностики, архівації та аналізу їх проходження через лінійні системи.

Опис запропонованого алгоритму аналізу лінійної системи

Як відомо, розв'язання лінійних рівнянь в базисі перетворення Уолша в області натуральних координат призводить до використання різницевих методів [7, 8] аналізу.

В області трансформант при використанні функцій Уолша при їх впорядкуванні за Адамаром диференційне рівняння

$$\begin{aligned}
 a_m \cdot \frac{d^m u}{dt^m} + a_{m-1} \cdot \frac{d^{m-1} u}{dt^{m-1}} + \dots + a_1 \cdot \frac{du}{dt} + a_0 \cdot u &= \\
 = b_n \cdot \frac{d^n i}{dt^n} + b_{n-1} \cdot \frac{d^{n-1} i}{dt^{n-1}} + \dots + b_1 \cdot \frac{di}{dt} + b_0 \cdot i &
 \end{aligned}
 \tag{1}$$

перетворюється до матричного рівняння [7,8]

$$\begin{aligned}
 \left(a_m \cdot \overline{\overline{A}}^m + a_{m-1} \cdot \overline{\overline{A}}^{m-1} + \dots + a_1 \cdot \overline{\overline{A}} \cdot x + a_0 \cdot \overline{\overline{E}} \right) \cdot \overline{U}_\xi &= \\
 = \left(b_n \cdot \overline{\overline{A}}^n + b_{n-1} \cdot \overline{\overline{A}}^{n-1} + \dots + b_1 \cdot \overline{\overline{A}} \cdot x + b_0 \cdot \overline{\overline{E}} \right) \cdot \overline{I}_\xi, &
 \end{aligned}
 \tag{2}$$

де $\overline{\overline{A}}^m = \left[\overline{\overline{W}} \cdot \overline{\overline{D}}_H^T \right]^m$; $\overline{\overline{E}}$ – одинична матриця; $\overline{\overline{W}}$ – матриця (дискретний оператор) перетворення Уолша-Адамара; $\overline{\overline{D}}_H$ – нормована (поділена на N) матриця похідних від оператора $\overline{\overline{W}}$; T – знак транспонування; N – порядок квадратних матриць $\overline{\overline{A}}^k$ та $\overline{\overline{E}}$; \overline{U} , \overline{I} – стовпці амплітуд трансформант відповідно реакції та дії розміру $N \times 1$.

Відомо також [7, 9], що матриці $\overline{\overline{A}}$ мають блочно-діагональний вигляд і складаються з блоків діагоналі 1, 2, 4, ..., 2^{n-1} порядків, якщо $N = 2^n$. Зрозуміло, що такий самий вигляд мають і всі k -ті степені ($k = 1, 2, \dots, m$) $\overline{\overline{A}}$ матричних операторів (2), одержувані поблочним зведенням у відповідну степінь кожного блока діагоналі окремо.

Матричне рівняння (2) можна записати у скороченому вигляді

$$\overline{\overline{A}}_\Sigma \cdot \overline{U}_\xi = \overline{\overline{B}}_\Sigma \cdot \overline{I}_\xi,
 \tag{3}$$

звідки розв’язок диференційного рівняння (1) в області трансформант має вигляд

$$\overline{U}_\xi = \overline{\overline{A}}_\Sigma^{-1} \cdot \overline{\overline{B}}_\Sigma \cdot \overline{I}_\xi,
 \tag{4a}$$

а розв’язок зворотної задачі (пошук дії, відповідної до одержаної реакції досліджуваної системи)

$$\overline{I}_\xi = \overline{\overline{B}}_\Sigma^{-1} \cdot \overline{\overline{A}}_\Sigma \cdot \overline{U}_\xi.
 \tag{4б}$$

Оскільки задача формування кожного з матричних операторів $\overline{\overline{A}}$ порядку $N=2^n$ не викликає труднощів [7, 9] і може бути розв’язана задале-

гідь, основну задачу становить обернення матриць $\overline{\overline{A}}_{\Sigma}$, $\overline{\overline{B}}_{\Sigma}$ (для кожного блоку діагоналі).

Для обернення матриці $\overline{\overline{A}}_{\Sigma}$ представимо кожний i -й блок діагоналі відповідним ортогональним матричним розкладом на власні вектори [10]

$$\overline{\overline{A}}_{\Sigma i} = \overline{\overline{P}}_{\Sigma} \cdot \overline{\overline{\lambda}}_{\Sigma} \cdot \overline{\overline{P}}_{\Sigma}^* \quad (5)$$

де $\overline{\overline{P}}_{\Sigma}$ – матриця власних векторів; * – знак комплексного спряження та транспонування; $\overline{\overline{\lambda}}_{\Sigma}$ – діагональна матриця власних значень матриці $\overline{\overline{A}}_{\Sigma i}$, причому

$$\overline{\overline{P}}_{\Sigma} \cdot \overline{\overline{P}}_{\Sigma}^* = \overline{\overline{P}}_{\Sigma} \cdot \overline{\overline{P}}_{\Sigma}^{-1} = \overline{\overline{E}}$$

Якщо матриця $\overline{\overline{\lambda}}_{\Sigma}$ не має нульових значень, то

$$\overline{\overline{A}}_{\Sigma i}^{-1} = \overline{\overline{P}}_{\Sigma} \cdot \overline{\overline{\lambda}}_{\Sigma}^{-1} \cdot \overline{\overline{P}}_{\Sigma}^* \quad (6)$$

Для реалізації виразів (5), (6) необхідно обчислити власні значення блоків матриці $\overline{\overline{A}}_{\Sigma}$, структура якої детальніше описана виразом (2). Матриця $\overline{\overline{A}}_{\Sigma i}$ має жорстку структуру, але чисельні значення (як і слід було очікувати) для кожного диференційного рівняння залежать не тільки від (завжди однакових) коефіцієнтів i -го блоку матриці $\overline{\overline{A}}$, але й від коефіцієнтів диференційного рівняння a_i та b_i . Покажемо зв'язок між власними значеннями i -го блоку матриці $\overline{\overline{A}}_{\Sigma i}$ і власними значеннями i -го блоку матриці $\overline{\overline{A}}_i$ в (2).

Нехай для блока матриці $\overline{\overline{A}}_i$ в (2) знайдено усі власні значення і власні вектори, тоді вірно

$$\overline{\overline{A}}_i = \overline{\overline{P}}_i \cdot \overline{\overline{\lambda}}_i \cdot \overline{\overline{P}}_i^*$$

Блок діагоналі матриці $\overline{\overline{A}}^2$, тобто $\overline{\overline{A}}_i^2$, одержимо множенням матричних виразів

$$\overline{\overline{A}}_i^2 = \overline{\overline{A}}_i \cdot \overline{\overline{A}}_i = \left(\overline{\overline{P}}_i \cdot \overline{\overline{\lambda}}_i \cdot \overline{\overline{P}}_i^* \right) \cdot \left(\overline{\overline{P}}_i \cdot \overline{\overline{\lambda}}_i \cdot \overline{\overline{P}}_i^* \right) = \overline{\overline{P}}_i \cdot \overline{\overline{\lambda}}_i^2 \cdot \overline{\overline{P}}_i^*$$

$$\overline{\overline{A}}_i^0 = \overline{\overline{P}}_i \cdot \overline{\overline{\lambda}}_i^0 \cdot \overline{\overline{P}}_i^* = \overline{\overline{P}}_i \cdot \overline{\overline{E}} \cdot \overline{\overline{P}}_i^*$$

Розклад (2), після винесення за дужки матриць власних векторів, матиме вигляд

$$\overline{\overline{\Pi}}_i \cdot (a_m \cdot \overline{\overline{\lambda}}_i^m + a_{m-1} \cdot \overline{\overline{\lambda}}_i^{m-1} + \dots + a_1 \cdot \overline{\overline{\lambda}}_i + a_0 \cdot \overline{\overline{E}}) \cdot \overline{\overline{\Pi}}_i^* \cdot \overline{U}_{i\xi} = \tag{7}$$

$$= \overline{\overline{\Pi}}_i \cdot (b_n \cdot \overline{\overline{\lambda}}_i^n + b_{n-1} \cdot \overline{\overline{\lambda}}_i^{n-1} + \dots + b_1 \cdot \overline{\overline{\lambda}}_i + b_0 \cdot \overline{\overline{E}}) \cdot \overline{\overline{\Pi}}_i^* \cdot \overline{I}_{i\xi},$$

або

$$\overline{\overline{\Pi}}_\Sigma \cdot \overline{\overline{\lambda}}_{\Sigma A} \cdot \overline{\overline{\Pi}}_\Sigma^* \cdot \overline{U}_{i\xi} = \overline{\overline{\Pi}}_\Sigma \cdot \overline{\overline{\lambda}}_{\Sigma B} \cdot \overline{\overline{\Pi}}_\Sigma^* \cdot \overline{I}_{i\xi}. \tag{7a}$$

В дужках виразу (7) записано суму зважених коефіцієнтів a_k , b_k діагональних матриць, тобто сума теж буде діагональною матрицею, а елементи діагоналі – це власні значення того самого i -го блоку матриці $\overline{\overline{\lambda}}_k$ в (5). Аналогічно для кожного блоку.

Тоді розв’язок (4а) одержує вигляд

$$\overline{U}_{i\xi} = \overline{\overline{\Pi}}_\Sigma \cdot \overline{\overline{\lambda}}_{\Sigma A}^{-1} \cdot \overline{\overline{\Pi}}_\Sigma^* \cdot \overline{\overline{\Pi}}_\Sigma \cdot \overline{\overline{\lambda}}_{\Sigma B} \cdot \overline{\overline{\Pi}}_\Sigma^* \cdot \overline{I}_{i\xi} = \overline{\overline{\Pi}}_\Sigma \cdot \overline{\overline{\lambda}}_{\Sigma A}^{-1} \cdot \overline{\overline{\lambda}}_{\Sigma B} \cdot \overline{\overline{\Pi}}_\Sigma^* \cdot \overline{I}_{i\xi}, \tag{8a}$$

а розв’язок (4б) -

$$\overline{I}_{i\xi} = \overline{\overline{\Pi}}_\Sigma \cdot \overline{\overline{\lambda}}_{\Sigma B}^{-1} \cdot \overline{\overline{\lambda}}_{\Sigma A} \cdot \overline{\overline{\Pi}}_\Sigma^* \cdot \overline{U}_{i\xi}. \tag{8б}$$

Алгоритм розв’язання лінійних диференційних рівнянь

Таким чином при реалізації алгоритму аналізу лінійних систем (диференційних рівнянь) в базисі перетворення Уолша-Адамара необхідно:

1. Сформуванати лінійне матричне диференційне рівняння (1), внаслідок чого будуть одержані коефіцієнти a_i та b_i в чисельному вигляді або у вигляді функцій від деяких параметрів, компонентів системи.

2. Знайти спектр сигналу дії або реакції в базисі перетворення Уолша-Адамара:

$$\overline{I}_\xi = \overline{\overline{W}} \cdot \overline{I}_t, \tag{9a}$$

$$\overline{U}_\xi = \overline{\overline{W}} \cdot \overline{U}_t. \tag{9б}$$

3. Для прямої задачі сформуванати масив діагональних елементів для кожного i -го блоку добутку матриць $\overline{\overline{\lambda}}_{\Sigma A}^{-1} \cdot \overline{\overline{\lambda}}_{\Sigma B}$, де q -й елемент діагоналі має вигляд $\lambda_{\Sigma\Sigma q(i)}$

$$\lambda_{\Sigma\Sigma q(i)} = \frac{b_n \cdot \lambda_{q(i)}^n + b_{n-1} \cdot \lambda_{q(i)}^{n-1} + \dots + b_1 \cdot \lambda_{q(i)} + b_0}{a_m \cdot \lambda_{q(i)}^m + a_{m-1} \cdot \lambda_{q(i)}^{m-1} + \dots + a_1 \cdot \lambda_{q(i)} + a_0}. \tag{10a}$$

Аналогічно для зворотної задачі

$$\lambda_{\Sigma q(i)} = \frac{a_m \cdot \lambda_{q(i)}^m + a_{m-1} \cdot \lambda_{q(i)}^{m-1} + \dots + a_1 \cdot \lambda_{q(i)} + a_0}{b_n \cdot \lambda_{q(i)}^n + b_{n-1} \cdot \lambda_{q(i)}^{n-1} + \dots + b_1 \cdot \lambda_{q(i)} + b_0}. \quad (10б)$$

4. За формулою (8а) або (8б) обчислити спектр шуканої реакції.

5. За формулами зворотного перетворення Уолта

$$\bar{U}_t = \frac{1}{N} \bar{W} \cdot \bar{U}_\xi, \quad (11а)$$

$$\bar{I}_t = \frac{1}{N} \bar{W} \cdot \bar{I}_\xi \quad (11б)$$

знайти відліки реакцій у натуральних координатах.

Оцінимо трудомісткість запропонованого алгоритму розв'язання диференційних рівнянь в базисі перетворення Уолша-Адамара.

Для формування діагональних елементів матриці $\bar{\lambda}_{\Sigma A}^{-1} \cdot \bar{\lambda}_{\Sigma B}$ необхідно $2 \cdot N$ операцій множення і стільки ж операцій алгебраїчного додавання.

Для множення матриць $\bar{\lambda}_{\Sigma A}^{-1} \cdot \bar{\lambda}_{\Sigma B} \cdot \bar{\Pi}^*$ необхідно N^2 операцій множення, а для множення одержаного добутку на матрицю $\bar{\Pi}$ ще $N^3/8$ операцій множення і стільки ж операцій додавання.

Отже, трудомісткість розв'язання задачі аналізу диференційного рівняння в базисі перетворення Уолша-Адамара становить приблизно $N^3/8$ операцій множення (без операцій ділення), що приблизно в вісім разів менше кількості трудомістких операцій обернення матриці \bar{A}_Σ методом Гауса. Але відсутність операції ділення в запропонованому алгоритмі забезпечує більшу точність обчислень з обмеженою розрядністю операндів, що є однією з найсуттєвіших переваг у порівнянні з методом прямого обернення матриць $\bar{A}_\Sigma, \bar{B}_\Sigma$.

Алгоритм пошуку власних векторів та власних значень

Отже, за наявності ефективного алгоритму пошуку власних значень матриці \bar{A} (поблочно) та відповідних власних векторів, розв'язання задачі аналізу зводиться лише до зведення у степені $0, 1, \dots, k$ власних значень та їх підсумовування з вагами a_i, b_i для подальшої реалізації формул (8а), (8б). Самі власні значення $\bar{\lambda}$ можуть бути знайдені для матриці довільного формату (як і усі власні вектори в матриці $\bar{\Pi}$). При великих порядках матричних виразів (7) точність обчислень (8) залежить від точності обчислення власних значень.

Власні значення матриці $\overline{\overline{A}}$ будемо знаходити для кожного i -го блоку $\overline{\overline{A}}_i$ окремо. Власні значення блочно-діагональної матриці $\overline{\overline{A}}$ будуть мати вигляд прямої суми власних значень окремих блоків $\overline{\overline{A}}_i$

$$\overline{\overline{\lambda}} = \overline{\overline{\lambda}}_0 \oplus \overline{\overline{\lambda}}_1 \oplus \dots \oplus \overline{\overline{\lambda}}_n,$$

де $\overline{\overline{\lambda}}_i$ – діагональна матриця власних значень i -го блоку $\overline{\overline{A}}_i$; порядок матриць $\overline{\overline{\lambda}}_0$ становить $N=1$; порядок матриці $\overline{\overline{\lambda}}_i$ становить $N=2^{i-1}$, $i=1, 2, \dots, n$; порядок матриці $\overline{\overline{A}}$ становить $N=2^n$; \oplus – знак прямої власної суми [10].

Власне значення нульового блоку $\overline{\overline{A}}_0$

$$\lambda_0 = \{0\}. \quad (12a)$$

Власні значення довільного i -го блоку $\overline{\overline{A}}_i$

$$\lambda_i = \{2 \cdot \cos(\varphi_k) \cdot \exp(\varphi_k)\}, \quad (12b)$$

де $\varphi_k = \frac{\pi}{2} \cdot \left(1 - \frac{2 \cdot k + 1}{2^{i-1}}\right)$ радіан або $\varphi_k = 90^\circ \cdot \left(1 - \frac{2 \cdot k + 1}{2^{i-1}}\right)$ градусів;

k – номер елемента діагональної матриці $\overline{\overline{\lambda}}_i$, $k = 0, 1, \dots, 2^{i-1} - 1$; $i = 1, 2, 3, \dots, n$.

Аналогічно до власних значень, власні вектори для кожного i -го блоку $\overline{\overline{A}}_i$ будемо знаходити окремо.

Матриці власних векторів перших трьох блоків

$$\overline{\overline{P}}_0 = [1], \quad \overline{\overline{P}}_1 = [1], \quad \overline{\overline{P}}_2 = \begin{bmatrix} 1/\sqrt{2} & 1/\sqrt{2} \\ -j/\sqrt{2} & j/\sqrt{2} \end{bmatrix}. \quad (13a)$$

Власні вектори довільного i -го ($i = 3, 4, \dots, n$) блоку $\overline{\overline{A}}_i$

$$\overline{\overline{P}}_{i+1}^{(k)} = \overline{\overline{P}}_i^{(\text{mod}(k, N))} \otimes \begin{bmatrix} j \cdot \sin(\varphi_k) \\ \cos(\varphi_k) \end{bmatrix}, \quad (13b)$$

де $\overline{\overline{P}}_i^{(k)}$ – k -й власний вектор блока $\overline{\overline{A}}_i$; $j = \sqrt{-1}$; \otimes – знак кронекеровського добутку матриць, φ_k – число, що відповідає значенню аргументу відповідного k -го комплексного власного значення; $\text{mod}(k, N)$ – значення числа k по модулю N .

Наприклад, при $N = 2$:

$$\text{mod}(0,2) = 0, \text{mod}(1,2) = 1, \text{mod}(2,2) = 0, \text{mod}(3,2) = 1;$$

Знайдемо, наприклад, власні значення у вигляді діагональної матриці $\overline{\lambda}_i$ та власні вектори $\overline{\Pi}_i^{(k)}$ для блоку \overline{A}_i при $i = 3$. \overline{A}_3 та $\overline{\Pi}_3$ мають розмір $N = 2^{i-1} = 4$. Множина відповідних значень аргументу φ_k у градусах та діагональна матриця $\overline{\lambda}_2$, згідно (12б):

$$\varphi_k = \{67,5^\circ; 22,5^\circ; -22,5^\circ; -67,5^\circ\};$$

$$\begin{aligned} \overline{\lambda}_2 &= \text{diag}(2\cos(\varphi_0)e^{j\varphi_0}, 2\cos(\varphi_1)e^{j\varphi_1}, 2\cos(-\varphi_2)e^{-j\varphi_2}, 2\cos(-\varphi_3)e^{-j\varphi_3}) = \\ &= \text{diag}(0,765 \cdot e^{j67,5^\circ}; 1,848 \cdot e^{j22,5^\circ}; 1,848 \cdot e^{-j22,5^\circ}; 0,765 \cdot e^{-j67,5^\circ}). \end{aligned}$$

Відповідно до (13а) та (13б) власний вектор $\overline{\Pi}_3^{(2)}$

$$\overline{\Pi}_3^{(2)} = \overline{\Pi}_2^{(\text{mod}(2,2))} \otimes \begin{bmatrix} j \cdot \sin(-22,5^\circ) \\ \cos(-22,5^\circ) \end{bmatrix} = \begin{bmatrix} 1/\sqrt{2} \\ -j/\sqrt{2} \end{bmatrix} \otimes \begin{bmatrix} j \cdot \sin(-22,5^\circ) \\ \cos(-22,5^\circ) \end{bmatrix} = \begin{bmatrix} -j \cdot 0,271 \\ 0,653 \\ -0,271 \\ -j \cdot 0,653 \end{bmatrix}$$

Власні вектори $\overline{\Pi}_3^{(0)}$, $\overline{\Pi}_3^{(1)}$, $\overline{\Pi}_3^{(3)}$ шукаються аналогічно.

Одержані результати

Для ілюстрації запропонованого алгоритму розглянемо реакцію лінійного кола (рис. 1) на одиничний прямокутний імпульс. Коло обране, виходячи з простоти перевірки одержаних результатів, прямокутний імпульс з точки зору характерності одержуваного результату.

В теорії лінійних електричних кіл застосовуються перехідна та імпульсна характеристики кола. Внаслідок періодичності функцій Уолша неможливо отримати спектр функції Хевісайда, а внаслідок скінченної частоти дискретизації та формату перетворення N – отримати спектр функції Дірака.

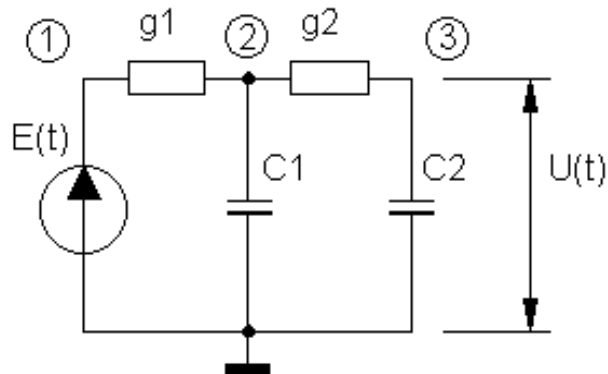


Рис. 1. Лінійне електричне коло

При цьому слід мати на увазі наступне

- внаслідок періодичності функцій Уолша ми, насправді, отримуємо реакцію на періодичну послідовність, період якої дорівнює часовому інтервалу T на якому досліджується функція;
- якщо тривалість імпульсу τ набагато менша, а період послідовності одиночних імпульсів T набагато більший за постійну часу електричного кола, то реакція буде наближатися до імпульсної характеристики даного кола;
- якщо тривалість імпульсу τ та період послідовності одиночних імпульсів T набагато більші за постійну часу електричного кола, причому $\tau \ll T$, то реакція буде наближатися до перехідної характеристики даного кола.

Диференційне рівняння кола, зображеного на рис. 1

$$C_1 \cdot C_2 \frac{d^2 U(t)}{dt^2} + [C_2 \cdot (g_1 + g_2) + C_1 \cdot g_2] \frac{dU(t)}{dt} + g_1 \cdot g_2 U(t) = g_1 \cdot g_2 \cdot E(t).$$

Для простоти обчислень прийнемо

$$C_1 = C_2 = C = 1, g_1 = g_2 = g = 1.$$

Тоді

$$\frac{d^2 U_3(t)}{dt^2} + 3 \frac{dU_3(t)}{dt} + U_3(t) = E(t).$$

В області перетворення Уолша-Адамара матричне диференційне рівняння має вигляд

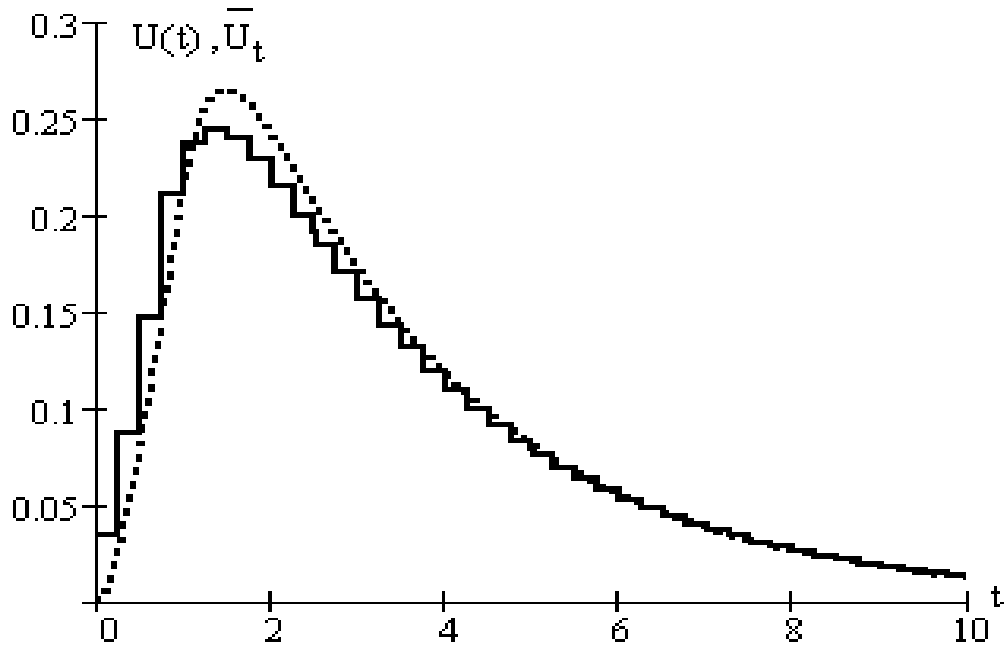
$$\left(\overline{\overline{A}}^2 + 3 \cdot \overline{\overline{A}} + \overline{\overline{E}} \right) \cdot \overline{U}_\xi = \overline{I}_\xi.$$

Розв'язок матричного диференційного рівняння

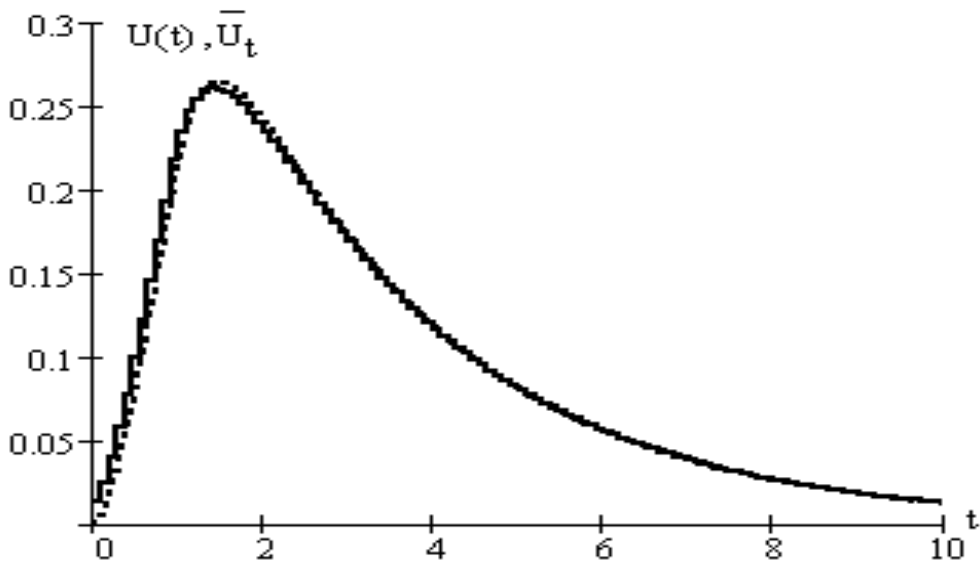
$$\overline{U}_\xi = \left(\overline{\overline{A}}^2 + 3 \cdot \overline{\overline{A}} + \overline{\overline{E}} \right)^{-1} \cdot \overline{I}_\xi.$$

Нехай тривалість імпульсу $\tau = 1$. Розрахунок було проведено за формулами (9а), (10а), (11а) для формату перетворення $N = 128$ та двох частот дискретизації $f_1 = 1/4, f_2 = 1/11$.

На рис. 2а та 2б наведені результати розрахунків для частот f_1 та f_2 відповідно (неперервна східчаста лінія). Для порівняння на цих же рисунках наведено реакцію кола, зображеного на рис. 1, на той самий імпульс, одержану за аналітичною формулою (штрихова лінія).



а



б

Рис. 2. Графіки розв'язок диференційного рівняння

Висновки

1. Одержані результати ілюструють простоту реалізації розробленого методу аналізу лінійних систем в області трансформант Уолша-Адамара, що зручно, коли аналіз, стиснення, архівацію та класифікацію сигналів певних класів проводять саме в цьому координатному базисі.

2. Запропонований алгоритм аналізу лінійних систем для реалізації не потребує обчислень нулів-полісів функцій кола, що в певних випадках можна вважати його позитивною рисою.

3. Даний алгоритм є складовою частиною підходу, який полягає в створенні математичного апарату аналізу систем на базі перетворень, відмінних від перетворення Фур'є. Алгоритм дає можливість такого аналізу в новітньому ортогональному базисі перетворень і указує на необхідність та можливість подальшого розвитку теорії розв'язання диференціальних рівнянь в нетрадиційних базисах.

Література

1. Murlan S. Corrington. Solution of Differentia and Integral Equashion with Walsh Function.// IEEE Transactions on Circuit Theory. – 1973. – V. CT-20. – №5. – P. 470-476.
2. Рыбин А.И. Ортогональное экспоненциальное преобразование REX. //Радиоэлектроника. – 2004. – №2. – С. 3-9.
3. Рыбин А.И., Пилинский В.В., Родионова М.В. Анализ электрических цепей в натуральных координатах на базе ортогональных преобразований с действительным ядром.// Праці Інституту електродинаміки НАНУ: Зб. наук. праць. – 2004. – №1(7). – С. 7-12.
4. Рыбин А.И. Нормализация дискретных ортогональных преобразований тестовым сигналом.// Радиоэлектроника. – 2004. – №5. – С. 36-41.
5. Рибін О.І., Шарпан О.Б. Алгоритми формування матричних операторів дискретних ортогональних перетворень REX та CoREX.// Вісник ЖДТУ. – №4(31). – Т2. – 2004. – №1. – С. 53-57.
6. Рыбин А.И., Шарпан О.Б. Диагностика пульсограмм на базе ортогональных преобразований с действительным ядром.// Вимірювальна та обчислювальна техніка в технологічних процесах. – 2004. – №1. – С. 141-186.
7. Рыбин А.И. Анализ линейных цепей в базисе преобразования Уолша.// Радиоэлектроника. – 2004. – №5. – С. 36-41.
8. Рыбин А.И. Метод модификаций для анализа линейных цепей в базисе функций Уолша.// Радиоэлектроника. – 2004. – №6. – С. 36-41.
9. Рыбин А.И., Григоренко Е.Г., Родионова М.В. Алгоритм анализа электрических цепей в базисе ортогональных преобразований с действительным ядром в области трансформант.// Праці Інституту електродинаміки НАНУ: Зб. наук.праць. – 2004. – №3(9). – С.10-14.
10. Гантмахер Ф.Р. Теория матриц. – М.: Наука. – 1967.

Рыбин А.И., Ткачук А.П. Анализ линейных систем в области трансформант преобразования Уолша-Адамара. Предложен алгоритм решения дифференциальных уравнений линейных систем в базисе спектров преобразования Уолша-Адамара.	Rybin A., Tkachyk A. The analisis of linear systems in basis of Walsh-Hadamard transformation. The algorithm for solution of differential equations of liner systems in basis of Walsh-Hadamard trans-formation is suggested.
--	--

Надійшла до редакції 20 березня 2006 року